



GRANADA-ALMERÍA

Las nuevas agriculturas y las grandes estructuras montañosas

Quizás sea la transversal Cazorla-Alpujarra una de las más representativas de la variedad geográfica y de la singularidad y espectacularidad geomorfológica del sector central y oriental de la región andaluza. Tomando como referencia la imagen de invierno, ésta revela la diversidad, complejidad y energía de los complejos montañosos de esta región. Por una parte, resaltan los grandes ejes montañosos de las Béticas Internas (Sierra Nevada, Baza, Filabres...), con alineaciones de clara orientación este-oeste frente a la diversidad y complejidad de los sistemas montañosos asociados las Béticas Externas, aquí representados por el murallón topográfico de las sierras de Cazorla-Segura que cierran la Depresión Bética, y por el estructuralmente desorganizado Subbético donde, ante la ausencia de alineaciones claras, destacan algunos conjuntos calizos de mayor entidad (Sierra de Mágina, Harana...). Esta accidentada topografía, propia de un conjunto montañoso alpino como las Béticas, que dominan toda la imagen excepto el extremo noroccidental, donde aparece tímidamente un sector de Sierra Morena y el tramo alto de la Depresión del Guadalquivir, es fiel reflejo de una característica propia de esta cordillera: su desarticulación estructural, es decir, la ausencia de una alineación clara. Aquí los conjuntos montañosos aparecen compartimentados por pasillos estructurales (Pozo Alcón-Guadiana Menor, Fiñana-Nacimiento, Guadalfeo-Andarax...) o depresiones interiores de gran trascendencia desde la perspectiva histórica de la ocupación y explotación de estos espacios por

el hombre. Las depresiones interiores configuran el corredor interior conocido como Surco Intrabético y, entre ellas, podemos identificar en las imágenes la de Granada, asociada a los depósitos aluviales del Genil y de enorme interés agrícola por sus suelos profundos y fértiles (tonos oscuros en la imagen de invierno) y las de Guadix y Baza, cuyos rellenos postorogénicos han sido disectados por la red hidrográfica actual. Esta ha modelado fondos de valles y terrazas asociados a una red hidrográfica con funcionamiento de ramblas en las zonas centrales y más deprimidas, y sectores intermedios profundamente erosionados (bad-lands o “tierras malas”) espectacularmente desarrollados en la cuenca alta del Guadiana Menor. Por su parte, la proximidad de los sistemas montañosos al mare se refleja en una costa esencialmente acantilada y en la poca presencia o exigüidad de playas., donde resalta el pronunciado trazado del Campo de Dalías, formado por abanicos aluviales, antiguos cordones litorales y líneas de playas, cuyos últimos episodios sedimentarios han aislado un conjunto alargado de lagunas litorales o albuferas.

Las tres imágenes recogidas en esta ocasión nos permiten, igualmente, observar las variaciones estacionales de los paisajes en este sector de la región, ya diverso y variado morfoestructuralmente. Entre los elementos que contribuyen a esta evolución y variedad paisajística quedan perfectamente recogidos en las imágenes la variación superficial de las nieves en los mayores conjuntos montañosos, especialmente en Sierra Nevada, el vigor de los cultivos de secano en las campiñas jiennenses o sobre los glaciares pliocuaternarios de las depresiones interiores en la imagen de primavera, o la significativa reducción en el desarrollo vegetativo de cultivos y vegetación natural en verano, ya que los primeros se concentran en las zonas de agricultura de regadío (Guadalquivir, ramblas y valles, Depresión de Granada...) y la segunda sobre los principales complejos montañosos (Cazorla-Segura, Mágina, Sierra Nevada...), resaltando, en todas las fechas, el espectacular “mar de plástico” que cubre la práctica totalidad del Campo de Dalías. La evolución de embalse del Negatín nos permite constatar la escasez de embalses en tan extensa región, situación sólo explicable por las dificultades morfológicas para su construcción y por la disponibilidad de aportes hídricos procedentes de los abundantes acuíferos de la zona.



Imagen de satélite Landsat-MSS de fecha 9-02-84. Falso color infrarrojo. @ ESA Earthnet



Imagen de satélite Landsat-MSS de fecha 13-07-85. Falso color infrarrojo. @ ESA Earthnet

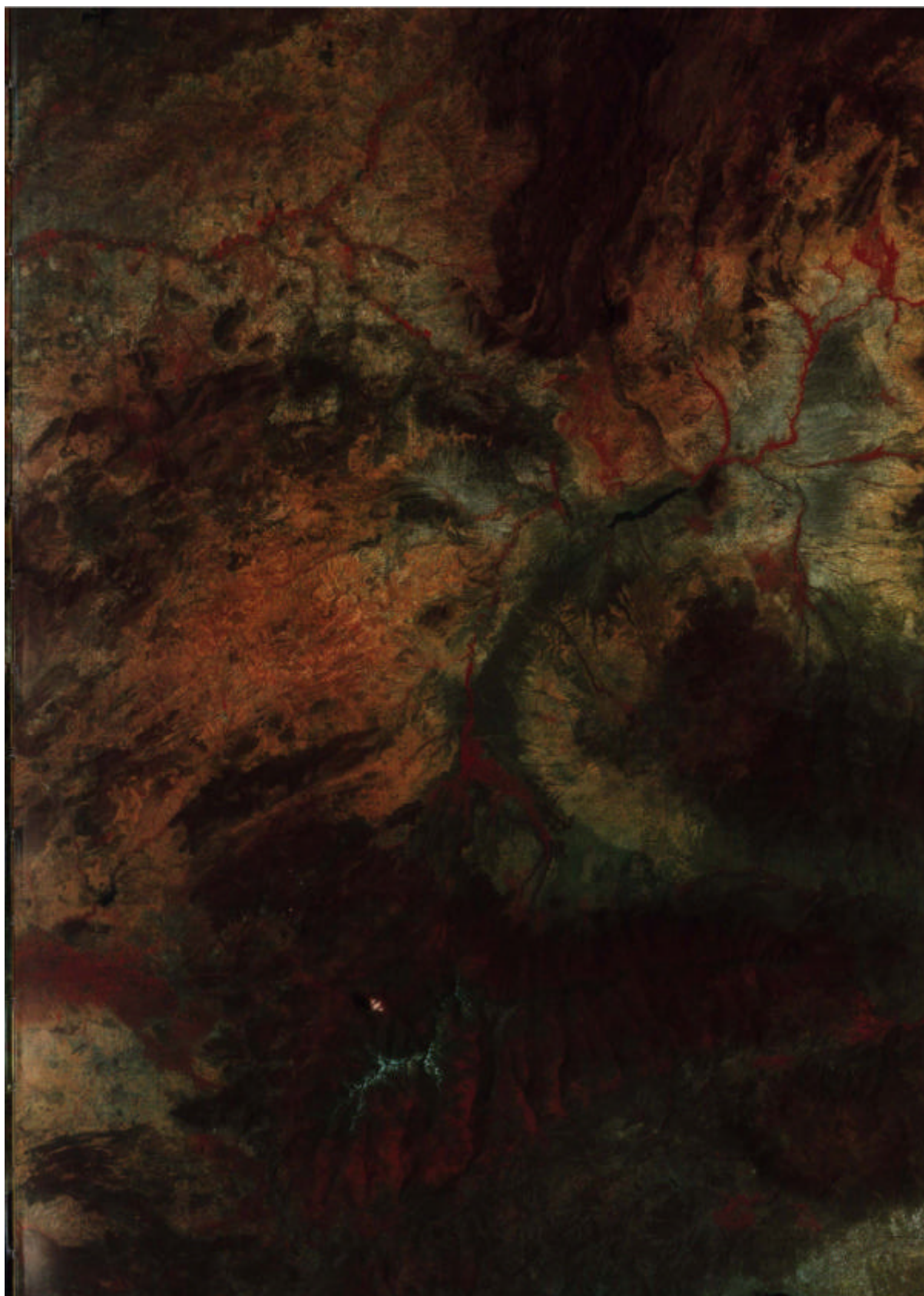


Imagen de satélite Landsat-MSS de fecha 14-04-87. Falso color infrarrojo. @ ESA Earthnet